

Магнитооптика гетероструктур $(\text{Zn},\text{Cd},\text{Mn})\text{Te}/\text{ZnTe}$ с малым разрывом потенциала валентной зоны

С. В. Зайцев¹⁾, И. В. Седова*, С. В. Сорокин*, С. В. Иванов*

Институт физики твердого тела РАН, 142432 Черноголовка, Московская обл., Россия

* Физико-технический институт им. А.Ф. Иоффе РАН, 194021 Санкт-Петербург, Россия

Поступила в редакцию 24 октября 2008 г.

Детально изучена магнитооптика в полумагнитных гетероструктурах с квантовыми ямами (КЯ) $(\text{Zn},\text{Cd},\text{Mn})\text{Te}/\text{ZnTe}$. Для КЯ, содержащих Mn, наблюдается обычный эффект гигантского спинового расщепления: полная круговая поляризация в магнитных полях $B > 0.5$ Тл, огромный рост интенсивности, связанный с подавлением Оже-рекомбинации на ионах Mn, и сильный красный сдвиг σ^+ -поляризованной компоненты. Напротив, структуры с немагнитными КЯ и удаленными полумагнитными слоями ZnMnTe демонстрируют противоположное поведение. Необычное поведение связывается с сильной чувствительностью энергии связи экситона к изменению потенциала валентной зоны в структурах с малым разрывом зон, что подтверждается расчетами и позволяет оценить величину химического разрыва зон -80 ± 20 мэВ в системе ZnTe/CdTe , близкую к данным по фотоэмиссии (Phys. Rev. Lett. **58**, 1127 (1987)).

PACS: 75.50.Pp, 75.75.+a, 78.67.De

ZnTe является прямозонным полупроводником типа II-VI с шириной запрещенной зоны $E_g = 2.26$ эВ при 300 К. Большие значения электро-оптических коэффициентов этого материала делают квантово-размерные структуры на основе гетеропереходов $\text{Zn}_{1-x}\text{Cd}_x\text{Te}/\text{ZnTe}$ весьма привлекательными для применений в качестве оптических модуляторов в зеленой области спектра. Более того, имеются сообщения об успешном использовании таких структур для светоизлучающих диодов и даже о получении лазерной генерации при комнатной температуре [1]. Одним из факторов, сдерживающих применение таких структур, является сильное рассогласование постоянных решетки в паре $\text{ZnTe}-\text{CdTe}$ ($\sim 6\%$), что предъявляет особые требования к толщинам слоев и режиму роста гетероструктур $\text{Zn}_{1-x}\text{Cd}_x\text{Te}/\text{ZnTe}$, препятствующих образованию дислокаций несоответствия. В то же время, известно, что химический разрыв валентной зоны ΔE_v в паре $\text{ZnTe}-\text{CdTe}$ существенно мал, $\Delta E_v \leq 0.1$ эВ [2, 3], при этом потолок валентной зоны в ZnTe выше, чем в CdTe . Несмотря на многочисленные исследования гетероструктур на основе этой пары, в литературе имеется большой разброс значений ΔE_v [4], точное значение этого важнейшего параметра до сих пор дискутируется (см. работу [5] и ссылки в ней). Отметим, что в условиях малости ΔE_v в определении зонного потенциала структур существенную роль играют внутренние

упругие напряжения в слоях, неизбежно возникающие при рассогласовании постоянных решетки, что может явиться причиной имеющегося разброса значений ΔE_v . Более того, в гетероструктурах с малой величиной разрыва зон важную роль играют эффекты кулоновского взаимодействия электрона и дырки, приводящие к модификации зонного потенциала [4], что в свою очередь существенно влияет на последовательность уровней энергии, вплоть до изменения типа перехода: тип-II в тип-I [6].

В настоящей работе исследованы проявления эффекта гигантского зеемановского расщепления в различных гетероструктурах $(\text{Zn},\text{Cd},\text{Mn})\text{Te}/\text{ZnTe}$. Обнаружено, что в структурах с немагнитными квантовыми ямами (КЯ) и удаленными полумагнитными (ПМ) барьерными слоями ZnMnTe эффекты кулоновского взаимодействия электрона и дырки приводят к поведению, противоположному наблюдаемому в структурах с КЯ, содержащими Mn. Кроме того, показано, что сравнение расчетов с экспериментом позволяет определить химический разрыв зон с точностью, лучшей, чем из результатов исследований фотоэмиссии.

Квантово-размерные структуры с одиночными КЯ $\text{Zn}_{1-x-y}\text{Cd}_y\text{Mn}_x\text{Te}/\text{ZnTe}$ ($x = 0.05 - 0.15$) толщиной 5 нм были выращены на подложке InAs с ориентацией (100) методом молекулярно-пучковой эпитаксии [7]. Параметры решеток InAs и ZnTe близки ($\sim 0.7\%$) [8], что позволяет осуществить рост псевдоморфно, когда постоянные решеток сло-

¹⁾e-mail: szaitsev@issp.ac.ru

ев структуры наследуют под постоянную решетки подложки. Предварительно на подложке InAs выращивался буферный слой ZnTe (35–50 нм), на котором затем выращивалась структура. Структуры специально не легировались, однако обычно они имеют *p*-тип остаточной проводимости. В работе изучены следующие структуры: с немагнитной КЯ Zn_{0.75}Cd_{0.25}Te/ZnTe (структуре А), структура с магнитной КЯ Zn_{0.60}Cd_{0.25}Mn_{0.15}Te/ZnTe (структуре В), а также структура с немагнитной КЯ Zn_{0.75}Cd_{0.25}Te/ZnTe и полумагнитными слоями Zn_{0.95}Mn_{0.05}Te толщиной 10 нм, отделенными от КЯ тонкими барьерами ZnTe толщиной 2 нм (структуре С).

Исследования проводились в криостате со сверхпроводящим магнитом до $B = 6$ Тл в сверхтекучем гелии (температура $T \approx 1.8$ К). Спектры стационарной фотолюминесценции (ФЛ) возбуждались ультрафиолетовой линией Ar⁺-лазера ($\lambda_{\text{exc}}=355$ нм) и регистрировались в геометрии Фарадея (нормально к поверхности образцов) с помощью ПЗС (CCD)-камеры на спектрометре МДР-23 со спектральным разрешением ~ 0.2 мэВ. Максимальная плотность мощности возбуждающего лазера не превышала 1 Вт/см² для избежания перегрева системы магнитных атомов, который разрушает обменное взаимодействие между носителями заряда и локализованными магнитными моментами Mn, приводящее к гигантскому эффекту Зеемана [9]. Температура магнитной подсистемы атомов Mn в пятне возбуждения, оцененная из магнито-полевых зависимостей энергии экситона, не превышала ~ 2 К. Циркулярно поляризованные пучки были сформированы стандартным образом с использованием линейного поляризатора и четверть-волновой пластинки. Время-разрешенные измерения проводились в проточном криостате на установке, оборудованной Ti:Sa пико-секундным лазером с удвоителем частоты ($\lambda_{\text{exc}}=420$ нм), монохроматором со спектральным разрешением лучше 1 мэВ и стрик-камерой с временным разрешением ~ 8 пс. Средняя плотность мощности возбуждающего лазера составляла ~ 1 Вт/см², что позволяет исключить многочастичные эффекты, а также перегрев образцов.

На рис.1 представлены спектры стационарной ФЛ исследованных структур. В немагнитной структуре А с КЯ ZnCdTe/ZnTe (рис.1а) в ФЛ наблюдается одна широкая линия ~ 2.18 эВ с полушириной >10 мэВ. Линия имеет фиолетовое плечо (FX), находящееся на ~ 4 –5 мэВ выше по энергии от основной линии (BX). Полоса FX соответствует излучению квазисвободно-

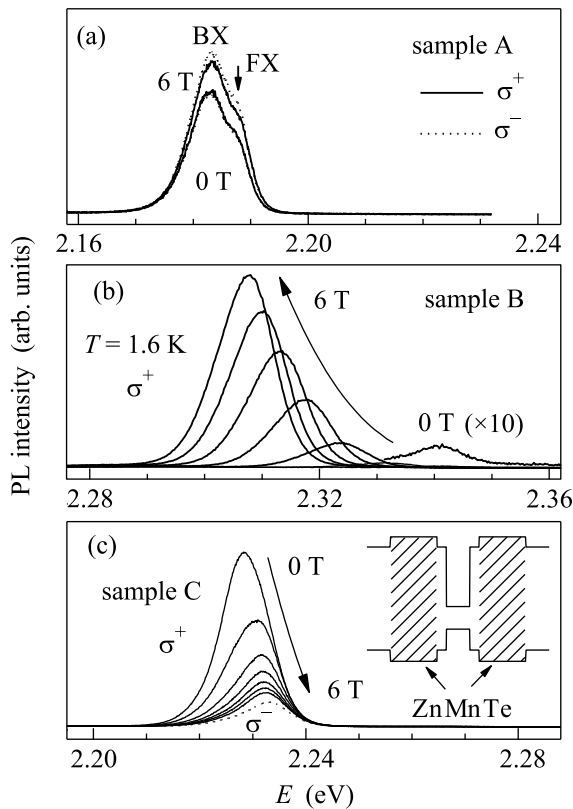


Рис.1. (а) σ^{\pm} -поляризованные спектры стационарной ФЛ структуры А в магнитных полях $B = 0$ и 6 Тл. (б) и (с) – σ^+ -поляризованные спектры структур В и С соответственно от $B = 0$ до 6 Тл с шагом в 1 Тл. Стрелки показывают направление развертки поля. Для структуры С пунктирной линией показан также спектр ФЛ в σ^- -поляризации при $B = 6$ Тл. На вставке – ее зонная схема

го экситона в КЯ, а полоса BX – экситону, локализованному на доноре. Такая классификация подтверждается как малым значением энергии связи, так и ростом относительной интенсивности полосы FX с ростом плотности фотовозбуждения, а также исчезновением BX с температурой. В магнитном поле происходит небольшой рост общей интенсивности ФЛ без заметного сдвига или зеемановского расщепления (менее 0.5 мэВ) сильно неоднородно уширенных линий, что обычно и наблюдается в немагнитных КЯ [10]. Зависимости интенсивности и энергии внутридягмных оптических переходов для всех структур представлены на рис.2.

Для магнитной структуры В с КЯ, содержащей Mn (рис.1б), в магнитном поле наблюдается обычный эффект гигантского спинового расщепления: сильный красный сдвиг σ^+ -поляризованной компоненты (более 30 мэВ) одновременно с огромным ростом ее интенсивности (более чем в 100 раз), что связано

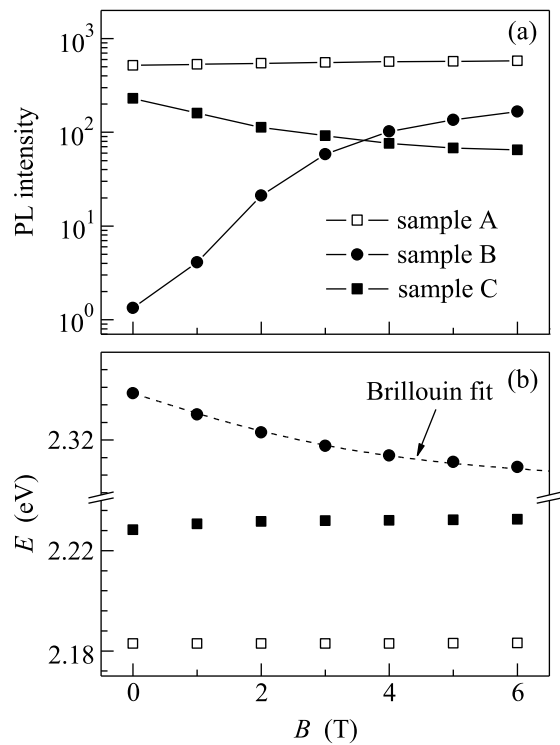


Рис.2. (а) Магнито-полевые зависимости интенсивностей и (б) энергий внутриямы оптических переходов. Штриховая линия – результат подгонки для структуры С в σ^+ -поляризации по формуле (1)

с подавлением оже-рекомбинации на ионах Mn [11]. σ^- -поляризованная компонента, наоборот, сдвигается в сторону высоких энергий и быстро исчезает при $B > 0.5$ Тл, что обусловлено практически полной межуровневой релаксацией на магнитных ионах [10].

На рис.2б штриховой линией показан результат подгонки энергии перехода для структуры В в σ^+ -поляризации за счет обменного взаимодействия носителей с магнитными ионами по формуле [10]:

$$E(B) = E(0) - \\ - (\gamma_e \alpha - \gamma_h \beta) N_0 x_{\text{eff}} S_0 B r_{5/2} \left\{ \frac{5 \mu g_{Mn} B}{2k(T + T_0)} \right\}, \quad (1)$$

где $S_0 = 5/2$ – спин иона Mn⁺², $N_0 \alpha = 180$ мэВ и $N_0 \beta = -1050$ мэВ – константы обменного взаимодействия, $B r_{(S_0)}$ – функция Бриллюэна, а множители $\gamma_{e,h} < 1$ учитывают конечное перекрытие волновых функций электронов и дырок с ионами Mn в КЯ, соответственно. Феноменологические параметры $x_{\text{eff}} < x$ и $T_0 > 0$ описывают антиферромагнитное спаривание соседних ионов Mn [10] и для $x = 0.15$ равны: $x_{\text{eff}} \approx 0.045$ и $T_0 \approx 5.3$ К [12]. Подгонка дает $T \approx 2$ К, $\gamma_e \sim 1$, $\gamma_h \approx 0.55$, что свидетельствует о сильной делокализации дырки и подробнее обсуждается ниже.

Необычное поведение демонстрирует структура С с немагнитной КЯ и удаленными магнитными слоями ZnMnTe (рис.1c). В противоположность структуре В, с ростом магнитного поля интенсивность линии ФЛ падает (почти в 4 раза при $B = 6$ Тл), при этом обе циркулярно поляризованные компоненты показывают слабый синий сдвиг ≈ 4 мэВ в поле 6 Тл. Зеемановское расщепление компонент составляет ≈ 0.7 мэВ, а степень круговой поляризации достигает $\sim 17\%$.

Существенное влияние ПМ слои оказывают также и на кинетику ФЛ. На рис.3 представлена зависимость времен затухания τ интенсивности ФЛ по-

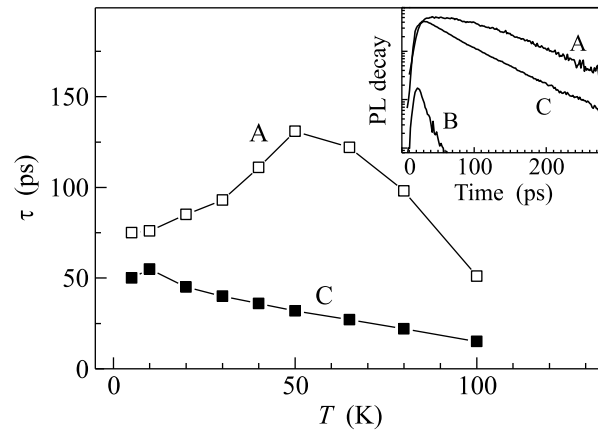


Рис.3. Зависимость времен затухания ФЛ τ для структур А и С от температуры. На вставке – импульсы свечения ФЛ

ле пс-возбуждающего импульса, импульсы свечения ФЛ – на вставке. Для структуры В $\tau \sim 8$ пс, что совпадает с временным разрешением и отражает быструю оже-рекомбинацию в структурах с Mn в КЯ, когда энергия перехода в КЯ выше энергии внутрицентрового перехода Mn (~ 2.1 эВ) [11]. В структуре А наблюдается только полоса FX с $\tau \sim 75$ пс при $T = 5$ К, затем τ растет с ростом температуры до $T \approx 50$ К, что обычно связано с эффектами когерентности в немагнитных КЯ [13]. Выше $T = 50$ К значение τ сокращается, что обусловлено термическим выбросом носителей (дырок) из неглубоких КЯ. В структуре С значения τ заметно меньше, чем в структуре А, что естественно связать с оже-рекомбинацией в туннельно близких ПМ слоях, и τ начинает уменьшаться уже выше 10 К.

Для понимания необычного магнитооптического поведения в структуре С необходимо учесть эффект кулоновского взаимодействия электрона и дырки. Важная роль экситонных эффектов была установлена в исследованиях гетероструктур с малой величи-

ной разрыва зонного потенциала в валентной зоне $\text{Cd}_{1-x}\text{Zn}_x\text{Te}/\text{CdTe}$ [4], а также ПМ $\text{Zn}_{1-x}\text{Fe}_x\text{Se}/\text{ZnSe}$ [6]. Кулоновское поле электрона и/или дырки настолько модифицирует зонный потенциал, что эффективный потенциал, “видимый” другим носителем, значительно отличается от исходного. В свою очередь, существенно изменяется структура уровней энергии носителей, которая будет значительно отличаться от уровней, получаемых в простых одночастичных расчетах. Было показано, в частности, что в структуре типа-II возможна эффективная локализация дырки, приводящая к изменению типа оптического перехода на тип-I [6]. При расчетах применялись различные подходы, как упрощенные, с модификацией потенциала только для дырки [4], так и с полным самосогласованным вариационным расчетом кулоновской задачи [6]. Сравнение расчетов с экспериментом показало хорошее согласие, что подтвердило правомерность подхода эффективного потенциала.

Для расчетов уровней энергии в структуре С мы учитывали сдвиги зоны проводимости и валентной зоны за счет упругих напряжений в слоях по стандартным формулам теории упругости (см. [14, 15]). Значения постоянных решетки a (0.6059 нм в InAs и 0.61037 нм в ZnTe), деформационных потенциалов и упругих констант взяты из работы [14], в которой исследовалась магнитооптика в КЯ ZnMnTe/ZnTe. Отметим сразу, что наибольшее упругое напряжение (сжатие) испытывает КЯ (слой ZnCdTe), что приводит к расщеплению уровней тяжелых и легких дырок на ~ 100 мэВ. При этом тяжелые дырки являются основным состоянием валентной зоны, а КЯ имеет тип-I, несмотря на $\Delta E_v < 0$. Нелинейное изменение ширины запрещенной зоны $E_g(x)$ с изменением концентрации x Cd или Mn рассчитывались по данным работы [16], в то время как $a(x)$ линейно аппроксимировались. Изменения зонной энергии в ПМ слоях в магнитном поле учитывалось согласно формуле (1). Величина химического разрыва зон ΔE_v на интерфейсах ZnMnTe/ZnTe принималась равной 1/3 от общей ΔE_g , как было установлено в [14]. В то же время $\Delta E_v(x) = x \cdot \Delta E_v$ на интерфейсе ZnTe/Zn_{1-x}Cd_xTe была выбрана линейной функцией искомого параметра ΔE_v , который варьировался для получения наилучшего согласия расчета с экспериментом.

Для учета влияния экситонных эффектов на уровне энергии электрона и дырки использовался подход работы [4] с пробной волновой функцией экситона в виде $\psi_e(z_c)\psi_h(z_v)(2/\pi\lambda^2)^{1/2}e^{-\rho/\lambda}$, где $\psi_e(z_c)$ и $\psi_h(z_v)$ – огибающие волновых функций электрона и дырки, соответственно, $(2/\pi\lambda^2)^{1/2}e^{-\rho/\lambda}$ – множитель, учитывающий коррелированное движение элек-

трона и дырки в плоскости КЯ. На первом этапе решалось уравнение Шредингера для $\psi_h(z_v)$ и находился уровень энергии дырки в потенциале, модифицированном кулоновским полем электрона (формула (7) в [4]). Полученный результат минимизировался по параметру λ . Таким образом учитывалась наиболее сильная чувствительность энергии дырки к модификации неглубокого потенциала в валентной зоне. На втором этапе учитывалось обратное влияние дырки на уровни энергии электрона.

Результаты расчетов дырочных состояний при $B = 6$ Тл без учета экситонных эффектов и с их учетом, соответственно, приведены на рис. 4a,b для $\Delta E_v = -80$ мэВ. Видно, что учет кулоновского поля электрона не только существенно изменяет вид потенциала, но также и саму волновую функцию. Сильное поднятие вверх валентной зоны в ПМ слоях (сравни с рис. 1c) приводит к “расплыванию” $\psi_h(z_v)$ в стороны от КЯ и ее проникновению в ПМ слои. В одночастичной картине (рис. 4a) изменения настолько существенны, что при $B > 3$ Тл дырка преимущественно локализована в ПМ слоях и оптический переход в КЯ изменяется на тип-II. Согласно расчету, в этом случае энергия перехода в σ^+ -поляризации должна существенно уменьшаться с ростом B , вслед за сужением $E_g(B)$ в слоях ZnMnTe, что противоречит эксперименту. Напротив, при учете экситонных эффектов дырка локализована в КЯ во всем диапазоне полей (рис. 4b). Тем не менее, существенное проникновение $\psi_h(z_v)$ в ПМ слои (23% при $B = 6$ Тл) объясняет падение интенсивности ФЛ в силу Оже-рекомбинации на Mn, несмотря на ее подавление с полем, а также значительную круговую поляризацию линии ФЛ, обусловленную спиновой релаксацией на ионах Mn.

Слабое увеличение энергии экситонного перехода E_X также находит свое объяснение в рамках данных расчетов. Отметим, что энергия связи экситона равна разности энергий носителей в одночастичном и кулоновски модифицированном потенциалах. С ростом поля имеет место конкуренция двух факторов: уменьшение E_X из-за общего движения потенциала валентной зоны вверх (в ПМ слоях) и ее рост при “расплывании” дырки за счет уменьшения энергии связи экситона (от 18.5 мэВ при $B = 0$ Тл до 9.2 мэВ при $B = 6$ Тл, согласно расчету).

Расчеты показали сильную чувствительность магнито-полевого поведения к параметру ΔE_v . Так, при $\Delta E_v = -100$ мэВ изменяется характер перехода от типа-I к типу-II при $B > 2$ Тл, при этом дырка локализуется в ПМ слоях, а E_X уменьшается при дальнейшем росте поля (рис. 4c,d). Для $\Delta E_v = -60$ мэВ переход будет типа-I во всем диапазоне полей, но

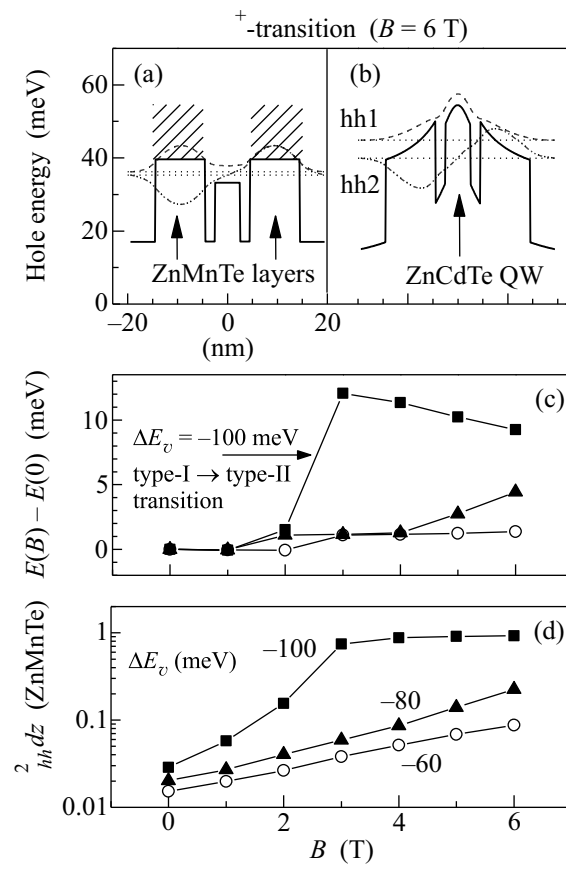


Рис.4. Зонная схема и волновые функции основного $hh1$ (штриховая линия) и 1-го возбужденного $hh2$ (штрихпунктирная линия) дырочных состояний в одночастичном (а) и кулоновски модифицированном (б) потенциале, отвечающем переходам в σ^+ -поляризации при $B = 6$ Тл. Расчет произведен для $\Delta E_v = -80$ мэВ. Расчетные изменения (с) – энергии экситонного перехода E_X и (д) – степени локализации дырок в ПМ слоях для различных ΔE_v .

все изменения незначительны: $\Delta E_X < 1.5$ мэВ. Таким образом, сравнение эксперимента с расчетом позволяет сделать более определенное заключение о величине $\Delta E_v = -80 \pm 20$ мэВ по сравнению с ранее известным значением -100 ± 50 мэВ [2].

В заключение отметим, что магнитооптические эффекты в ПМ структурах на основе гетеро-пары ZnTe/ZnCdMnTe с малой величиной химического разрыва валентной зоны могут существенно отличаться от обычно наблюдаемого эффекта гигантского спинового расщепления в других полупроводниковых структурах.

Определяющую роль в таких структурах играют эффекты кулоновского взаимодействия электрона и дырки, приводящие к значительной модификации зонного потенциала, “видимого” носителями, что, в свою очередь, непосредственно влияет на зависимость энергии квантоворазмерных уровней от магнитного поля. Кроме того, сравнение расчетов с экспериментом позволяет оценить величину химического разрыва зоны для системы ZnTe/CdTe как $\Delta E_v \approx -80$ мэВ, что хорошо соотносится с данными, полученными из исследований фотоэмиссии.

Работа выполнена при поддержке Российского фонда фундаментальных исследований, проекты # 07-02-01299, # 07-02-00980, и Программы ОФН РАН “Спинtronика”.

1. J. H. Chang, J. S. Song, K. Godo et al., *Appl. Phys. Lett.* **78**, 566 (2001).
2. T. M. Due, C. Hsu, and J. P. Faurie, *Phys. Rev. Lett.* **58**, 1127 (1987).
3. D. W. Niles, H. Hochst, and D. Rioux, *AIP Conf. Proc.* **268**, 279 (1992).
4. P. Peyla, Y. Merle d’Aubigné, A. Wasiela et al., *Phys. Rev. B* **46**, 1557 (1992).
5. В.И. Козловский, В.Г. Литвинов, Ю.Г. Садофьев, ФТП **34**, 998 (2000).
6. J. Warnock, B. T. Jonker, A. Petrou et al., *Phys. Rev. B* **48**, 17321 (1993).
7. S. V. Ivanov, O. G. Lyublinskaya, Yu. B. Vasilyev et al., *Appl. Phys. Lett.* **84**, 4777 (2004).
8. C. G. Van de Walle, *Phys. Rev. B* **39**, 1871 (1989).
9. J. K. Furdyna, *J. Appl. Phys.* **64**, R29 (1988).
10. D. R. Yakovlev and K. V. Kavokin, *Comments Condens. Matter Phys.* **18**, 51 (1996).
11. A. V. Chernenko, P. S. Dorozhkin, V. D. Kulakovskii et al., *Phys. Rev. B* **72**, 045302 (2005).
12. D. Ferrand, J. Cibert, A. Wasiela et al., *Phys. Rev. B* **63**, 085201 (2001).
13. J. Feldmann, G. Peter, E. O. Gobel et al., *Phys. Rev. Lett.* **59**, 2337 (1987).
14. P. J. Klar, J. R. Watling, D. Wolverson et al., *Sem. Sci. Tech.* **12**, 1240 (1997).
15. G. Hendorfer and J. Schneider, *Sem. Sci. Tech.* **6**, 595 (1991).
16. T. Li, H. J. Lozykowski, and J. L. Reno, *Phys. Rev. B* **46**, 6961 (1992).